УДК 546.831

КИНЕТИКА ВЫСОКОТЕМПЕРАТУРНОЙ НИТРИДИЗАЦИИ СПЛАВОВ НА ОСНОВЕ \mathbf{Zr} - \mathbf{U}^1

©2023 г. И.А. Ковалев 1* , Г.П. Кочанов 1* , Л.О. Львов 1* , В.Ю. Зуфман 1* , А.И. Огарков 1* , Д.П. Шорников 1*,2* , Б.А. Тарасов 1*,2* , А.А. Коновалов 1* , А.В. Шокодько 1* , С.С. Стрельникова 1* , А.С. Чернявский 1* , К.А. Солнцев 1*

 $^{1*}\Phi \Gamma E V H$ Институт металлургии и материаловедения им. А.А. Байкова РАН, Москва E-mail: vankovalskij@mail.ru

^{2*}Национальный исследовательский ядерный университет «МИФИ» (НИЯУ «МИФИ»), Москва

Поступила в редакцию 13 декабря 2022 г. После доработки 16 января 2023 г. принята к публикации 22 февраля 2023 г.

Установлены кинетические закономерности образования нитридов и представлена последовательность структурных превращений, характеризующих высокотемпературную (при 1900 °C) нитридизацию сплавов Zr-U, содержащих 2 и 5 мас.% U, в интервале от 3,5 до 60 мин. В ходе высокотемпературного насыщения азотом для каждого состава происходит распад твердого раствора (Zr,U) с образованием композитных структур ZrN-(ZrN $_{1-n}$ /U $_x$ 9 $_y$ /U)-ZrN (где 9 — 0, N; n, x, y — стехиометрические коэффициенты). При распаде твердого раствора образуется нитрид циркония и выделяется фаза металлического урана, аккумулирующего в центральной части образца содержащиеся в исходном твердом растворе примеси. Кинетические кривые для температуры 1900 °C аппроксимируются экспоненциальным законом и соответствуют нитридизации циркония. Скорость нитридизации твердого раствора (Zr,U) возрастает с увеличением содержания урана. Для завершения процесса образования компактного нитрида твердого раствора (Zr,U)N стехиометрического состава необходимо повышать температуру и увеличивать длительность реакции.

Ключевые слова: нитрид циркония; керамика; твердый раствор (Zr,U); нитридизация; кинетика насыщения; окислительное конструирование.

Тугоплавкие материалы на основе нитридов переходных металлов с высокой жаропрочностью, твердостью, износостойкостью, устойчивые в агрессивных условиях, нашли широкое применение в микроэлектронике, медицине, при изготовлении обрабатывающего инструмента, в аэрокосмической индустрии [1—5]. Создание новых видов топлива и материалов на основе мононитрида урана и плутония с добавками минорных актиноидов (U,Pu,A)N, где актиноид A - Np, Am, Cm, и твердых растворов (Ри,А) В инертных матрицах на основе ZrC, TiC, ZrN и TiN затруднено в связи со сложностью консолидации порошков нитридов, в том числе содержащих дополнительные компоненты, в высокоплотные материалы [6, 7]. Возросший интерес к

нитридному ядерному топливу [8-10] заставляет исследователей совершенствовать уже известные технологии и искать принципиально новые подходы для получения керамических изделий сложных форм, которые затруднительно получать традиционными методами [11, 12]. Предложенный авторами работы подход, позволяющий синтезировать керамику заданной формы в процессе полной нитридизации металлических заготовок [13], объединяет технологию керамических материалов с процессами, протекающими при высокотемпературной нитридизации металлов и сплавов. Кинетика и закономерности формирования субструктуры компактных нитридов, образующихся при высокотемпературной нитридизации твердых растворов урана в цирконии, мало представлены в доступной литературе и их исследование представляет значительный научный интерес.

¹Исследование выполнено при финансовой поддержке гранта РНФ (проект № 20-13-00392).

Цель работы — исследование кинетики и установление структурных превращений в процессе формирования компактных нитридов на основе твердых растворов (Zr,U)N.

Материалы и методика эксперимента. Исследование процесса нитридизации проводили на образцах в виде лент длиной 60 мм, сечением $3,0 \times 0,3$ мм, изготовленных из проката сплава на основе твердого раствора урана в цирконии $(2 \text{ и } 5\% \text{ U})^2$. Шихту, состоящую из смеси урана-238 и иодидного циркония (ТУ 95.46-97) в заданных соотношениях, переплавляли в дуговой печи МИФИ 9.3 (Россия, НИЯУ «МИФИ») в слиток с равномерным составом. Для удаления оксидной пленки слиток травили в смеси (объемное отношение 1:1) азотной и плавиковой кислот и отжигали в вакуумной печи сопротивления при температуре 1000 °C в течение 1 ч, после чего запечатывали в медную тонкостенную трубу для предотвращения окисления, нагревали в индукторе до температуры 800—900 °C и проковывали в пластину толщины ~3 мм. После ковки образец прокатывали в несколько этапов до толщины 0,3 мм. После каждого этапа прокатываемый материал нагревали в вакуумной печи сопротивления до температуры 900 °C (выше температуры фазового перехода циркония).

Элементный состав исходных сплавов определяли и контролировали на рентгенофлуоресцентном волнодисперсионном спектрометре последовательного типа Bruker S8 Tiger (серия 2) в вакууме по бесстандартной методике с применением ПО QUANT-EXPRESSTM.

Нитридизацию проводили резистивным нагревом в среде азота особой чистоты марки 6,0 (ГОСТ 10157—79) при температуре 1900 °С. Для синтеза выбрана температура, близкая температуре перитектической реакции [14], что наиболее интересно для рассмотрения кинетических реакций при изучении процесса получения керамического материала из сплава на основе твердого раствора урана в цирконии при содержании 2 и 5% U.

Изотермичность процесса контролировали пирометром LumaSense IMPAC ISR 50-LO (Германия) (погрешность 0,1%). Для глубокого понимания процессов, протекающих при

азотировании двойной системы, проведена нитридизация проката иодидного циркония.

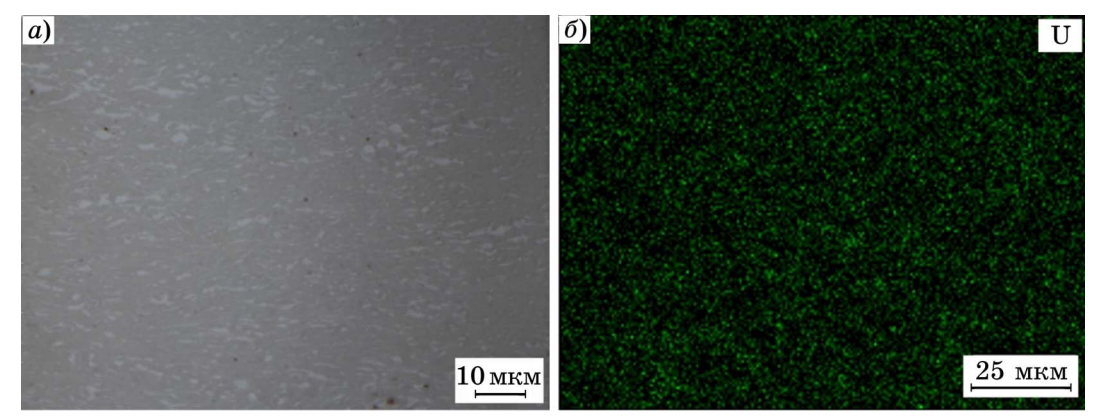
Кинетику насыщения циркония азотом экспериментально определяли по приросту массы образца в течение 60 мин. Погрешность измерения массы составляла $\pm 0,0001$ г. В процессе нагрева оценивали изменение электросопротивления образца.

Фазовый состав приповерхностного слоя (глубиной ~7 мкм) и порошковых проб образцов определяли на дифрактометрах: вертикальном рентгеновском XRD-6000 (θ —2 θ) фирмы Shimadzu и ARL X'TRA (θ — θ) в геометрии Брэгга—Брентанно. В качестве источника использовали рентгеновскую трубку с медным анодом (CuK_{α}). Приборы были откалиброваны по стандартному образцу NIST SRM-1976a, средняя погрешность положения рефлексов на оси 20 относительно эталона не превышала 0,005°. Кристаллические фазы идентифицировали по Банку данных [15]. Параметр кристаллической решетки определяли методом экстраполяции к оси $\theta = 90^{\circ}$ функцией Нельсона—Райли с аппроксимацией прямой по методу наименьших квадратов; относительная погрешность в определении межплоскостных расстояний составляла 5.10^{-5} нм.

Морфоструктуру поверхности поперечных сколов и шлифов исследовали на оптическом инвертированном микроскопе Ахіо Observer 3 (Carl Zeiss) в поляризационном и дифференциально-интерференционном рельефном контрасте. Для оценки состава фаз в образцах исследование проведено с помощью электронного микроанализатора Jeol JXA-iSP100, оснащенного детекторами вторичных (SE) и обратнорассеянных (BED-C) электронов для наблюдения внешнего вида образцов, а также энергодисперсионным детектором характеристического рентгеновского излучения, возникающего при взаимодействии электронного пучка с образцом. Исследования проводили в режимах «точечный анализ» и «картирование» (построение карты распределения концентраций элементов по поверхности образца).

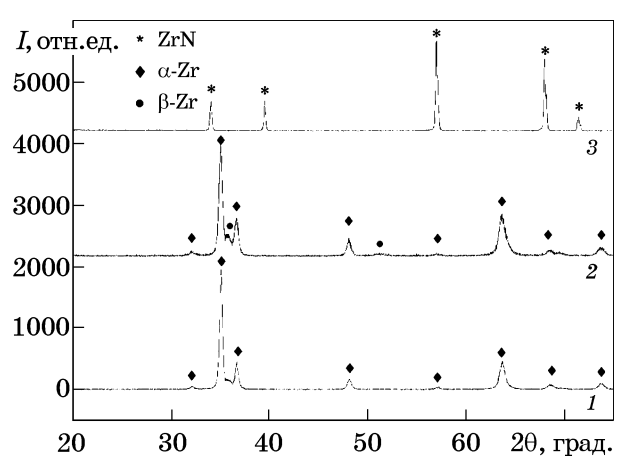
Результаты исследования и их обсуждение. На фиг. 1, a приведена морфоструктура поверхности образца исходного сплава Zr-U после селективного травления в разбавленном водном растворе HF-NH₄HF₂, а на фиг. 1, δ — карта распределения урана по поверхности образца в матрице циркония.

 $^{^2}$ Здесь и далее в статье содержание компонентов в мас.%.



Фиг. 1. Морфоструктура поверхности и карта распределения урана по поверхности образца исходного сплава ${
m Zr}\text{-}5\%\,{
m U}$

Анализ образцов исходных сплавов подтверждает преимущественно равномерное распределение урана. Морфология поверхности шлифа на оптическом микроскопе показывает распределение включений параллельными слоями вдоль плоскости прокатки. В исходных образцах сплавов, содержащих 2 и 5% U (фиг. 2, дифрактограммы 1, 2), методом рентгенофазового анализа не фиксируется наличие отдельной фазы урана. При этом исходный сплав, содержащий 2% U, в основном однофазный: α-твердый раствор (Zr,U) (ГПУ, пр. гр. №194 - P/63mmc). В сплаве, содержащем 5% U, помимо фазы а-твердого раствора (Zr,U) отчетливо определяется пик при $2\theta = 35,6-35,9^{\circ}$ в сочетании с некоторой неровностью при $51,5^{\circ}$, что позволяет говорить о присутствии некоторого количества β-твердого раствора (Zr,U) (ОЦК, пр. гр. $№229 - Im\overline{3}m$) (см. фиг. 2, дифракторамма 2). Так как на дифрактограмме 1 едва фик-



Фиг. 2. Рентгеновские дифрактограммы поверхности образцов: 1 — исходный сплав 2r-2% U; 2 — исходный сплав 2r-5% U; 3 — сплав 2r-2% U после нитридизации при 1900 °C в течение 11 мин

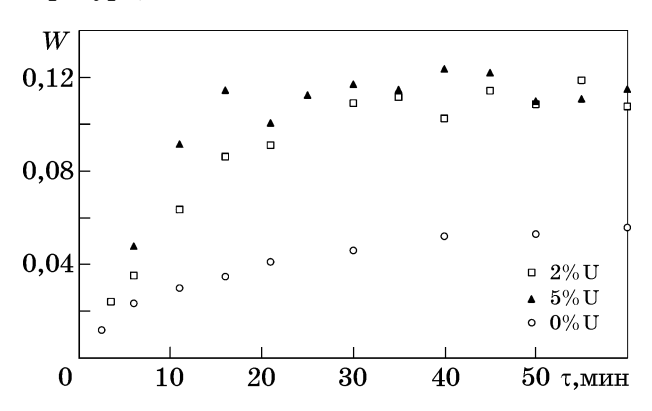
сируются следы, предположительно также относящиеся к фазе β-твердого раствора, можно предположить, что доля β-фазы возрастает с увеличением содержания урана в сплаве, что следует из роста относительной интенсивности соответствующих отражений. Наблюдаемое на дифрактограммах уширение рефлексов обеих фаз свидетельствует о микронапряжениях в исходных сплавах, возникших в результате проката.

На фиг. 3 приведены кинетические зависимости доли W поглощенного азота (отношение увеличения массы образца к исходному ее значению) от времени. Ошибка измерений не превышает 5%.

Анализ кривых показал, что кинетика нитридизации твердых растворов, содержащих 2 и 5% U, аппроксимируется экспоненциальной зависимостью:

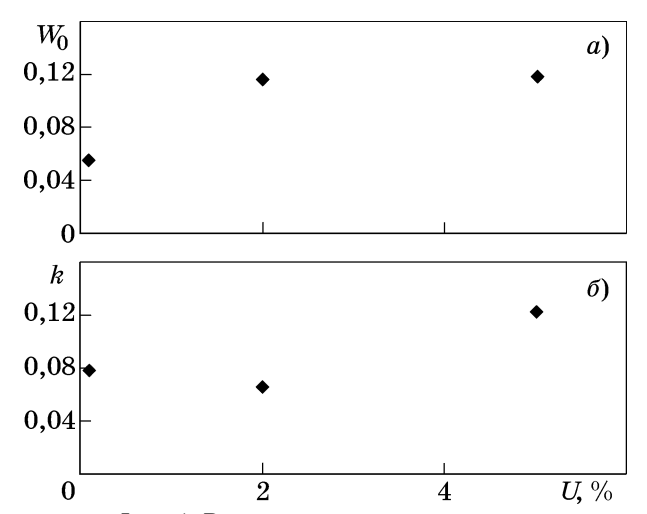
$$W = W_0[1 - \exp(-kT)],$$

где W_0 — предэкспоненциальный множитель; k — константа скорости, мин $^{-1}$; T — температура, K.



Фиг. 3. Кинетика насыщения азотом сплавов Zr-U, содержащих 2 и 5% U, и иодидного циркония при температуре нитридизации $1900~^{\circ}\mathrm{C}$

В отличие от двустадийной кинетики нитридизации чистого циркония [16] на кинетической кривой для твердого раствора (Zr,U) ($T=2173~\rm K,~\tau=3,5-60~\rm muh$) второй участок не идентифицируется. Поглощение основного количества азота с образованием нитрида (Zr,U)N_{0,8} происходит в течение 30 мин для состава, содержащего 2% U, и 16 мин для сплава с 5% U. При увеличении содержания урана возрастает константа скорости

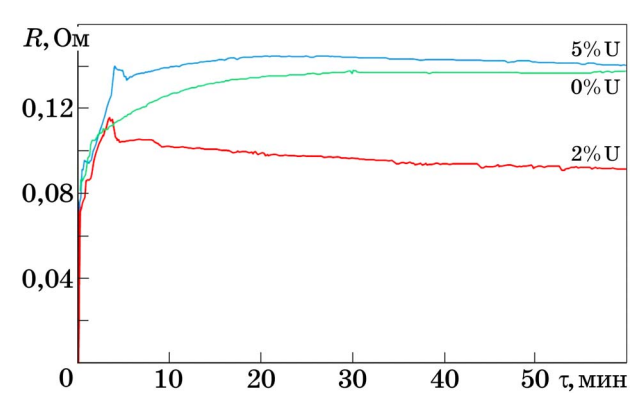


Фиг. 4. Влияние содержания урана в сплаве на предэкспоненциальный множитель (a) и константу скорости реакции нитридизации сплава Zr-U (δ)

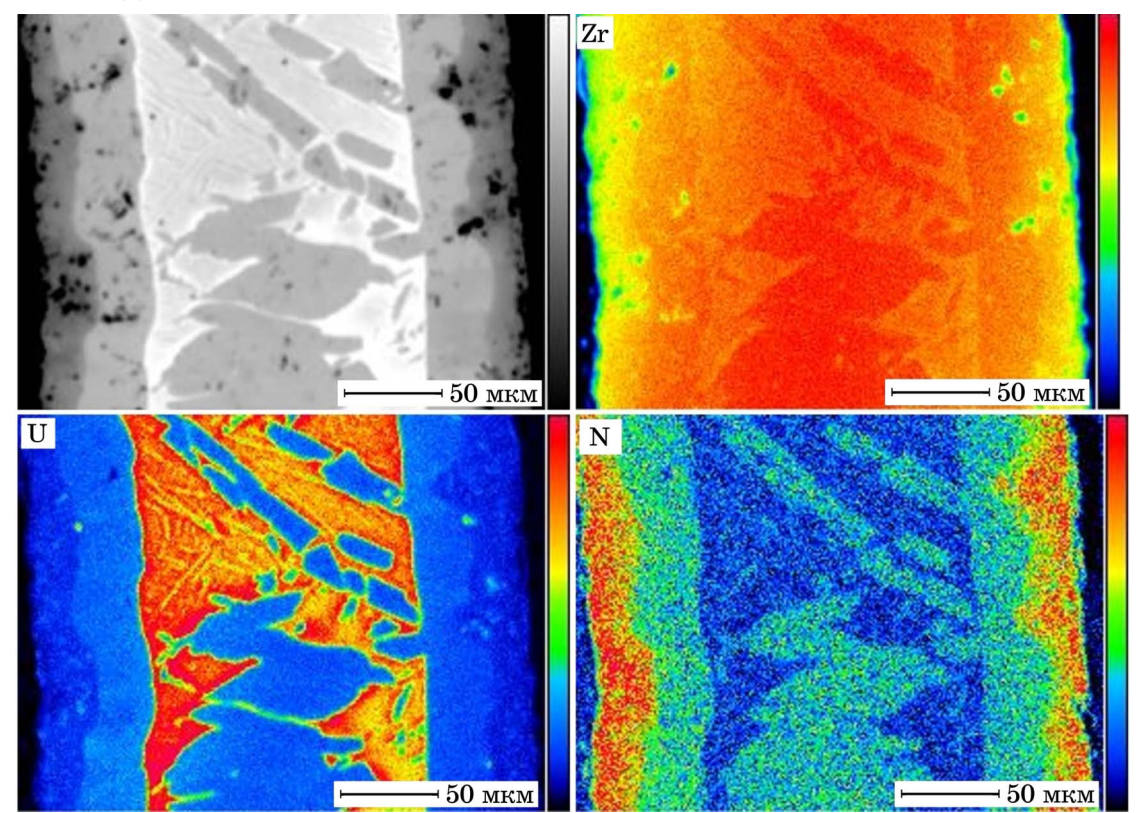
реакции и, следовательно, предельное значение прироста W_0 , одинакового для обоих сплавов, достигается быстрее.

Предэкспоненциальный множитель и константа скорости реакции нитридизации в зависимости от содержания урана в сплаве Zr-U представлены на фиг. 4.

Электрическое сопротивление образцов зависит от длительности синтеза (фиг. 5). В начале нитридизации сопротивление твердых растворов достигает максимума, далее наблюдается плавное снижение с увеличением доли поглощенного азота. Максимальное увеличение электрического сопротивления



Фиг. 5. Изменение электрического сопротивления образца от длительности синтеза разных составов



Фиг. 6. Элементное картирование поверхности шлифа образца сплава ${\rm Zr\text{-}2\%\,U}$ после нитридизации при $1900\,$ °C в течение 6 мин

установлено для образца, содержащего 5% U, значения сопротивления для образца сплава с 2% U меньше, чем в случае нитридизации чистого циркония. Форма кривых изменения сопротивления для твердых растворов более сложная по сравнению с плавной зависимостью в случае нитридизации чистого циркония. Авторы объясняют это началом распада твердых растворов, сопровождающимся выделением металлической фазы в области протекания химической реакции.

Сепарация металлической фазы урана в области протекания химической реакции нитридизации подтверждается данными элементного картирования (фиг. 6) поверхности поперечного шлифа образца сплава с 2% U (1900 °C, $\tau=6$ мин).

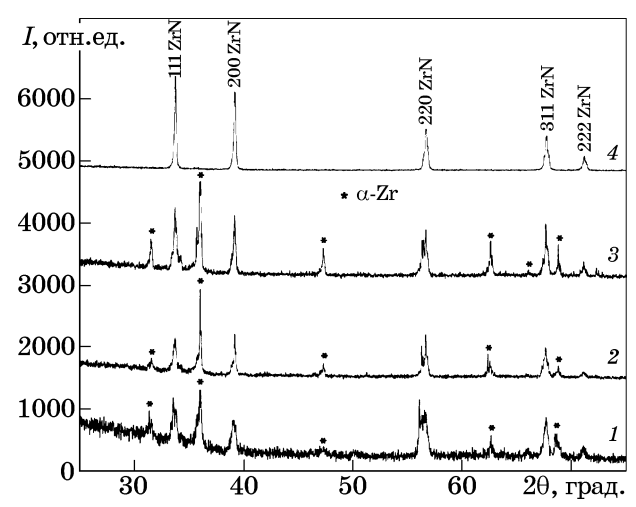
На приведенной на фиг. 2 дифрактограмме 3 представлен спектр для приповерхностного слоя образца в результате нитридизации твердого раствора сплава с 2% U при 1900 °С в течение 11 мин. Видно, что уже в начальной стадии нитридизации на поверхности образуется нитрид циркония исключительно стехиометричного состава с параметром кристаллической решетки 4,577(3) Å очень близким к параметру решетки нитрида циркония, полученного из иодидного циркония [17].

На фиг. 7, 8 приведены рентгеновские дифрактограммы в объеме нитридной керамики и металлокерамики на основе твердого раствора ($\rm Zr, U$) с 2,0 и 5,0% U, синтезированной в течение 6—40 мин при температуре 1900 °C.

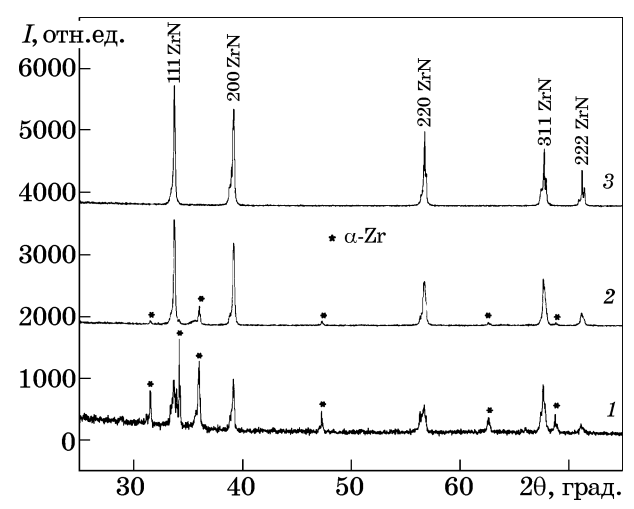
Установлено, что увеличение содержания урана в исходном сплаве приводит к росту скорости исчезновения фазы α-твердого раствора (Zr,U), что полностью согласуется с данными кинетических закономерностей нитридизации этих сплавов.

На фиг. 9 представлено изменение параметра a кристаллической решетки ${\rm ZrN}$ в зависимости от длительности синтеза и состава сплава.

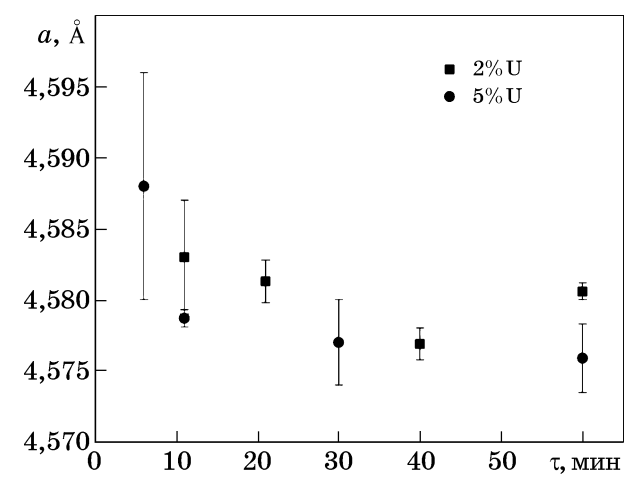
На начальной стадии формирования нитрида циркония уран не участвует в химической реакции с азотом. Параметр кристаллической решетки образовавшегося ZrN в объеме образца в момент выхода кинетики процесса нитридизации на плато (см. фиг. 3) соответствует параметру решетки нитрида циркония, синтезированного из иодидного циркония (a = 4,5783 Å) [17], и не зависит от количества урана в исходном сплаве.



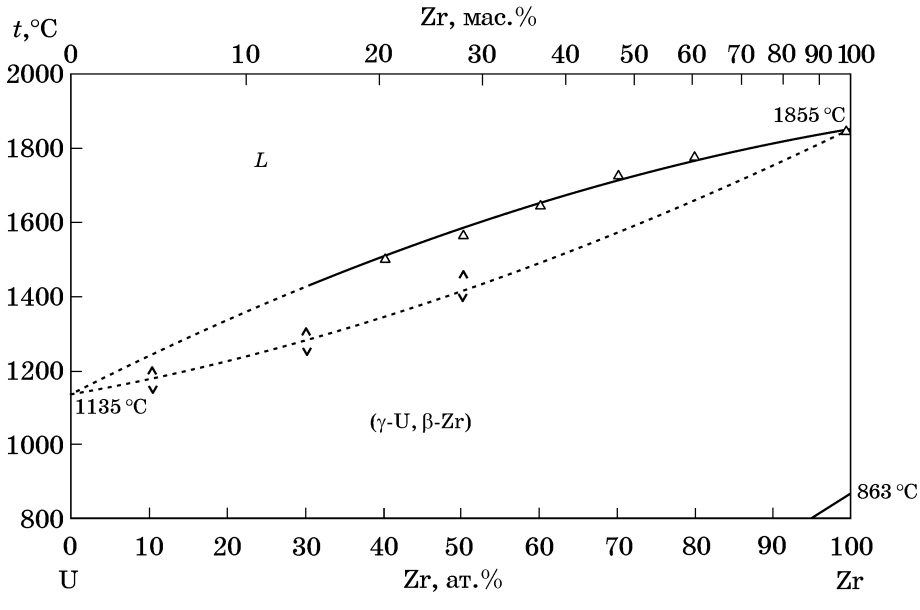
Фиг. 7. Рентгеновские дифрактограммы в объеме сплава на основе твердого раствора (Zr,U) с 2% U после нитридизации при 1900 °C в течение 6 (1), 11 (2), 21 (3) и 40 мин (4)



Фиг. 8. Рентгеновские дифрактограммы в объеме сплава на основе твердого раствора (Zr,U) с 5% U после нитридизации при 1900 °C в течение 6 (1), 11 (2) и 30 мин (3)



Фиг. 9. Изменение параметра a кристаллической решетки ZrN в нитридах твердого раствора (Zr,U)N в зависимости от содержания урана после нитридизации при 1900 °C



Фиг. 10. Фрагмент диаграммы состояния Zr-U [14]

Из диаграммы состояния Zr-U (фиг. 10) следует, что в процессе концентрации урана в центре образца температура плавления металлического остатка снижается [14], что приводит к образованию нитрида из жидкой фазы. Протекание синтеза выше температуры перитектической реакции подтверждается анализом микроструктуры керамики и морфоструктурой поверхности поперечных шлифов (фиг. 11).

Несмотря на то, что уран в отличие от ниобия [17] на начальной стадии нитридизации не участвует в образовании компактного нитрида циркония, формирование кера-



Фиг. 11. Морфоструктура поверхности шлифа нитридной керамики, синтезированной при температуре 1900 °С как пример формирования нитридной фазы из расплава твердого раствора (Zr,U)

мики протекает с более высокой скоростью. Внедрение в решетку циркония массивных атомов урана приводит к ее искажениям и образованию точечных дефектов, ускоряющих диффузию атомов азота. Увеличение доли урана в твердом растворе соответственно ускоряет процесс нитридизации. Имеющий значительно меньшее, чем цирконий, сродство к азоту, уран выделяется в виде расплава, концентрируется в геометрическом центре образца и вступает в реакцию с азотом на завершающем (более 60 мин) этапе пропесса.

Установлены кинетические закономерности образования нитридов и представлена последовательность структурных превращений, характеризующих высокотемпературную нитридизацию сплавов на основе твердого раствора (Zr,U) с содержанием 2 и 5% U при температуре 1900 °C в интервале длительности синтеза от 3,5 до 60 мин. Для завершения процесса образования компактного нитрида твердого раствора (Zr,U)N стехиометрического состава необходимо повышать температуру и увеличивать длительность реакции.

Выводы. 1. Установлено, что кинетика нитридизации твердых растворов (Zr,U) при температуре 1900 °C аппроксимируется экспоненциальным законом и соответствует кинетике нитридизации циркония.

2. Обнаружено, что процесс нитридизации сопровождается распадом твердого раствора (Zr,U) с образованием композитных

- структур ZrN-(ZrN $_{1-n}$ /U $_x$ Э $_y$ /U)-ZrN (где Э O, N; n, x, y стехиометрические коэффициенты).
- 3. Показано, что высокотемпературное азотирование твердого раствора (Zr,U) протекает с образованием нитрида циркония и сепарацией фазы металлического урана в центральной части образца.

СПИСОК ЛИТЕРАТУРЫ

- Wuchina, E. Designing for ultrahigh-temperature applications: The mechanical and thermal properties of HfB₂, HfC_x, HfN_x and αHf(N) / E. Wuchina, M. Opeka, S. Causey, K. Buesking, J. Spain, A. Cull, J. Routbort, F. Guitierrez-Mora // J. Mater. Sci. 2004. V.39. №19. P.5939—5949.
- Dong, Sh. Facile preparation of mesoporous titanium nitride microspheres for electrochemical energy storage / Dong Sh., Chen X., Gu L., Zhou X., Xu H., Wang H., Liu Zh., Han P., Yao J., Wang L., Cui G., Chen L. // ACS Appl. Mater. Interfaces. 2011. V.3. №1. P.93—98. DOI: 10.1021/am100951h.
- Bläβ, U.W. Bulk titanium nitride ceramics-Significant enhancement of hardness by silicon nitride addition, nanostructuring and high pressure sintering / U.W. Bläβ, T. Barsukova, M.R. Schwarz, A. Köhler, C. Schimpf, D. Rafaja, E.1. Kroke, U. Mühle, I.A. Petrusha // J. Eur. Ceram. Soc. 2015. V.35. №10. P.2733—2744. DOI: 10.1016/j.jeurceramsoc.2015.04.005
- 4. Hollmer, T. Manufacturing methods for (U-Zr)N-fuels: student thesis / T. Hollmer. Stockholm: AlbaNova University Centre. 2011. 80 p.
- 5. Li, J.Y. Zirconium nitride (ZrN) fibers prepared by carbothermal reduction and nitridation of electrospun PVP /zirconium oxychloride composite fibers / J.Y. Li, Y. Sun, Y. Tan, F.M. Xu, X.L. Shi, N. Ren // Chem. Eng. J. 2008. V.144. №1. P.149—152.
- Xin, X. Photochemical synthesis of transition metalstabilized uranium(VI) nitride complexes / Xin X., Douair I., Rajeshkumar T., Zhao Y., Wang S., Maron L., Zhu C. // Nature Communications. 2022. V.13(1). Art. 3809.
- 7. Turner, J. UN-UB $_2$ composite fuel material; improved water tolerance with integral burnable absorber / J. Turner, J. Buckley, R.N. Worth, M. Salata-Barnett, M.J.J. Schmidt, T.J. Abram // J. Nucl. Mater. 2022. V.559. Art.153471.
- Zheng, L. Layer-structured Cr/Cr_xN coating via electroplating-based nitridation achieving high deuterium resistance as the hydrogen permeation barrier / Zheng L., Li H., Zhou J., Tian X., Zheng Z., Wang L., Wang X., Yan Y. // J. Advanc. Ceram. 2022. V.11(12). P.1944—1955.
- Кривов, М.П. Влияние структурно-фазового состояния нитридного ядерного топлива на ресурс ТВЭ-ЛА / М.П. Кривов, Г.А. Киреев, А.В. Тенишев // Атомная энергия. 2019. Т.127. №1. С.25—29.

- Кинёв, Е.А. Методики материаловедческих исследований нитридного ядерного топлива / Е.А. Кинёв, А.В. Барыбин, В.Л. Панченко, В.А. Цыгвинцев // Вопр. атомн. науки и техники. Серия: Материаловедение и новые материалы. 2021. №3 (109). С.85—95.
- Solntsev, K.A. Oxidative constructing of thin-walled ceramics (OCTWC) / K.A. Solntsev, E.M. Shustorovich, Y.A. Buslaev // Dokl. Chem. 2001. V.378. №4—6. P.143—149.
- 12. Солнцев, К.А. Окислительное конструирование тонкостенной керамики (ОКТК) выше температуры плавления металла: получение оксидных волокон из волокон Al и его сплава / К.А. Солнцев, Е.М. Шусторович, А.С. Чернявский, И.В. Дуденков // ДАН. 2002. Т.385. №3. С.372—377.
- 13. Кузнецов, К.Б. Структура и твердость керамики, полученной в процессе высокотемпературной нитридизации циркониевой фольги / К.Б. Кузнецов, К.А. Шашкеев, С.В. Шевцов, А.И. Огарков, Н.Н. Третьяков, М.П. Саприна, А.В. Костюченко, А.С. Чернявский, В.М. Иевлев, К.А. Солнцев // Неорган. матер. 2015. T.51. №8. C.893—900. DOI: 10.7868/ S0002337X15080126 (Kuznetsov K.B., Shashkeev K.A., Shevtsov S.V., Ogarkov A.I., Tretyakov N.N., Saprina M.P., Kostyuchenko A.V., Chernyavskii A.S., Ievlev V.M., Solntsev K.A. Structure and hardness of ceramics produced through high-temperature nitridation of zirconium foil // Inorg. Mater. 2015. V.51. .Nº8. P.820-827. https://doi.org/10.1134/ S0020168515080129)
- 14. Sheldon, R.I. The U-Zr (uranium-zirconium) system / R.I. Sheldon, D.E. Peterson // Bull. Alloy Phase Diagrams. 1989. V.10. №2. P.165—171.
- Powder diffraction file. Alphabetical index inorganic compounds. — Pensilvania: ICPDS, 1997.
- 16. Кузнецов, К.Б. Кинетика насыщения циркония азотом в процессе высокотемпературной нитридизации / К.Б. Кузнецов, И.А. Ковалев, В.Ю. Зуфман, А.И. Огарков, С.В. Шевцов, А.А. Ашмарин, А.С. Чернявский, К.А. Солнцев // Неорган. матер. 2016. Т.52. №6. С.609—611. DOI : 10.7868/S0002337X16060075. (Kuznetsov K.B., Kovalev I.A., Zufman V.Yu., Ogarkov A.I., Shevtsov S.V., Ashmarin A.A., Chernyavskii A.S., Solntsev K.A. Kinetics of zirconium saturation with nitrogen during high-temperature nitridation // Inorg. Mater. 2016. V.52. №6. P.558—560. DOI : 10.1134/S0020168516060078.)
- 17. Kovalev, I.A. Compositional evolution of zirconium and niobium in the process of high-temperature nitridation of Zr-Nb alloys / I.A. Kovalev, G.P. Kochanov, L.O. L'vov, S.V. Shevtsov, S.V. Kannikin, A.N. Sitnikov, S.S. Strel'nikova, A.S. Chernyavskii, K.A. Solntsev // Mendeleev Communications. 2022. V.32. Is.4. P.498—500. https://doi.org/10.1016/j.mencom.2022.07.022.